

去甲基川陈皮素对前列腺癌细胞 PC3 和 DU145 的抗癌活性研究

谷 悅^{1,2}

(1. 西南大学园艺园林学院, 重庆 400716; 2. 南方山地园艺学教育部重点实验室, 重庆 400715)

摘要 [目的] 研究去甲基川陈皮素(5-demethylnobiletin, 5DN)对前列腺癌细胞活性的影响。[方法] 通过 MTT 法检测 5DN 对 PC3 和 DU145 细胞的毒性。运用 DAPI 细胞核染色、实时荧光定量 PCR、蛋白免疫印迹法、细胞划痕试验探究 5DN 对前列腺癌细胞凋亡、迁移的影响。[结果] 5DN 对 PC3 和 DU145 细胞增殖有明显的抑制作用, IC_{50} 分别为 49.33、54.14 $\mu\text{mol/L}$ 。5DN 处理后在 2 个细胞系中抑制细胞凋亡基因(*Bcl-2*、*AKT1*、*AKT2*)的 mRNA 的转录水平显著降低, 促进凋亡基因(*caspase-3*、*Bax*)的转录水平显著升高。DU145 中促进凋亡基因 *PTEN* 的 mRNA 的转录水平显著升高, 促凋亡蛋白 caspase 9 的表达量显著升高。同时, 5DN 能有效抑制 PC3 细胞的迁移。[结论] 5DN 能促进前列腺癌细胞的凋亡并抑制它的增殖和迁移。

关键词 去甲基川陈皮素; 前列腺癌细胞; 抗癌活性

中图分类号 R285 **文献标识码** A

文章编号 0517-6611(2019)13-0166-05

doi: 10.3969/j.issn.0517-6611.2019.13.051

开放科学(资源服务)标识码(OSID):



Study on Anticancer Activity of 5-demethylnobiletin against Prostate Cancer Cells PC3 and DU145

GU Yue^{1,2} (1. College of Horticulture and Landscape Architecture, Southwest University, Chongqing 400716; 2. Key Laboratory of Horticulture Science for Southern Mountainous Regions, Ministry of Education, Chongqing 400715)

Abstract [Objective] The aim was to study the effect of 5-demethylnobiletin (5DN) on the activity of prostate cancer cells. [Method] The toxicity of 5DN to PC3 and DU145 cells was detected by MTT assay. DAPI nucleic acid staining, RT-qPCR, Western blotting, Wound healing assay were used to investigate the effects of 5DN on apoptosis, proliferation and migration of prostate cancer cells. [Result] 5DN significantly inhibited the proliferation of PC3 and DU145 cells with IC_{50} of 49.33 and 54.14 $\mu\text{mol/L}$, respectively. After 5DN treatment, the transcriptional levels of genes that inhibit apoptosis, such as *Bcl-2*, *AKT1*, and *AKT2*, were significantly decreased, and the transcriptional levels of apoptosis-promoting genes such as *caspase-3* and *Bax* were significantly increased in two cell lines. In DU145, the transcription level of *PTEN* mRNA was significantly increased, and the expression level of caspase 9 protein was significantly increased. At the same time, 5DN could effectively inhibit the migration of PC3 cells. [Conclusion] 5DN can induce the apoptosis of prostate cancer cells and inhibit its proliferation and migration.

Key words 5-demethylnobiletin; Prostate cancer; Anticancer activity

前列腺癌是中老年男性泌尿生殖系统最常见的恶性肿瘤之一^[1], 发病率在全球呈逐年升高的趋势^[2]。虽然我国前列腺癌的发病率低于西方国家, 但前列腺癌发展速度迅猛、致死率高, 随着我国人口的老龄化前列腺癌患病的人数将不断增加^[3]。目前, 前列腺癌的治疗方法主要有手术治疗、放疗、化疗、内分泌治疗等^[4]。但传统的治疗方法效果不理想, 复发率高, 还会产生肿瘤耐药性, 影响化疗效果^[5]。因此, 寻找副作用小、药效好的抗肿瘤化合物显得更加必要。

多甲氧基黄酮 (polymethoxylated flavones, PMFs) 是柑橘属植物特有的, 一类高度甲氧基化的黄酮类化合物 (flavonoids)^[6]。研究表明, PMFs 具有一系列生物活性, 包括预防糖尿病^[7]、心脑血管疾病^[8]、抗氧化^[9]、抗炎和抗癌作用^[10]。在已经鉴定的 70 多种 PMFs 中^[11], 去甲基多甲氧基黄酮作为 PMFs 的一个独特的亚类, 具有很强的抗癌活性, 包括肺癌^[12]、结肠癌^[13]和乳腺癌^[14]。去甲基川陈皮素 (5-demethylnobiletin, 5DN) 是柑橘类水果中含量最丰富的去甲基多甲氧基黄酮。研究表明, 5DN 能促进肺癌细胞中聚合微管蛋白的形成, 通过 JNK 活化导致肺癌细胞 G2/M 期阻滞, 从而有效抑制肺癌细胞的增殖^[15]。膳食 5DN 能抑制香烟致瘤物 NNK 诱导的小鼠肺肿瘤发生^[16]。但是, 5DN 对人前列腺癌细胞的活性影响还鲜见报道。该研究以人源前列腺癌

细胞系 PC3 和 DU145 为细胞模型, 研究 5DN 对前列腺癌细胞的增殖、凋亡、迁移的影响, 寻找一种天然化合物为前列腺癌的治疗提供新思路。

1 材料与方法

1.1 材料

1.1.1 研究对象。去甲基川陈皮素 (5DN) (纯度 $\geq 98\%$) 来自 Li 等^[17]对柑橘大红袍的 PMFs 分离纯化研究。

1.1.2 试验细胞系。人源前列腺癌细胞 PC3 和 DU145 系来自重庆文理学院创新靶向药物国际研究院。

1.1.3 试剂。胎牛血清 (FBS) 购于美国 Sigma-Aldrich 公司; 青霉素-链霉素购于美国 Gibco 公司; DMEM 和 F-12K 培养基购于美国 Gibco 公司; MTT (3-(4,5-二甲基噻唑-2)-2,5-二苯基四氮唑溴盐) 溶液、DMSO (二甲基亚砜) 溶液、DAPI (40,60-二脒基-2-苯基吲哚) 细胞核染色液、结晶紫染色液, 均购自美国 Sigma-Aldrich 公司; 合成引物购于中国华大基因公司; caspase 9 和 β -actin 蛋白抗体购自美国 Cell Signaling Technology 公司; BCA 试剂盒购于中国碧云天公司; PVDF 膜购于美国 Merck Millipore 公司; 试验使用的所有其他化学品均来自美国 Sigma-Aldrich 公司。

1.1.4 仪器。双色红外激光成像系统 (Odyssey CLx), 美国 LI-COR 公司; 酶标仪 (Cytation 5), 美国 Bio TeK 公司; 小型垂直电泳槽 (Mini-PROTEAN Tetra), 美国 Bio-Rad 公司; 倒置荧光显微镜 (ix73), 日本 Olympus 公司; 细胞培养箱 (BB15), 美国 Thermo Electron 公司; PCR 仪 (S1000), 美国

基金项目 国家自然科学基金项目 (31772260)。

作者简介 谷悦 (1993—), 女, 重庆人, 硕士研究生, 研究方向: 果品营养与质量安全。

收稿日期 2019-02-22

Bio-Rad 公司;超纯水系统(Milli-Q Advantage A10),美国 Millipore 公司;实时荧光定量 PCR 仪(LightCycler® 96),瑞士 Roche 公司。

1.2 方法

1.2.1 细胞培养。PC3 和 DU145 人前列腺癌细胞系细胞分别培养在含 10% (V/V)、胎牛血清、1% 青霉素-链霉素 (V/V)、DMEM 和 F-12K 培养基中,在 37 °C、5% CO₂ 的培养箱中连续培养备用。

1.2.2 细胞毒性试验(MTT)。采用 MTT 法检测 5DN 对人源性前列腺癌 PC3 和 DU145 细胞的体外抗增殖活性。将 PC3 和 DU145 细胞以 4×10^3 个细胞/孔的密度接种在 96 孔微量培养板中孵育 24 h,当孔中细胞贴壁密度在 70%~80% 时,加入不同浓度(0~150 μmol/L)的 5DN 处理细胞,设置空白对照,平行设置 6 个复孔。培养 48 h 后,向每个孔中加入 20 μL MTT(5 mg/mL)溶液,在 37 °C、5% CO₂ 下继续培养 4 h 后,吸弃上清液,每个孔中加入 150 μL DMSO 溶液,摇床振荡 10 min,使结晶完全溶解。最后通过酶标仪在 λ_{562nm} 处读数,计算细胞存活率,并采用 Logit 法计算细胞 50% 抑制浓度(IC₅₀)。细胞存活率表示为:细胞存活率 = OD_{检测}/OD_{对照} × 100%。

1.2.3 DAPI 细胞核染色。PC3 和 DU145 细胞(1×10^4 个/孔)分别接种于 24 孔板中,置 37 °C、5% CO₂ 培养箱中培养 24 h,当贴壁细胞密度达到 70%~80%,加入不同浓度的 5DN(0、50、75 μmol/L)处理细胞,继续在培养箱中培养 48 h。然后弃去上清液,用 PBS 洗涤 2 次,并用 4% 多聚甲醛固定 15 min。用 PBS 洗涤固定的细胞,并用 DAPI(100 ng/mL)染色 15 min。最后,除去 DAPI 溶液,用 PBS 洗涤细胞 2 次。通过荧光显微镜观察拍照,最大吸收波长为 364 nm,最大发射波长为 454 nm。

1.2.4 细胞划痕试验。PC3 细胞(5×10^4 个/孔)接种于 6 孔板中,置 37 °C、5% CO₂ 培养箱中培养 24 h,当贴壁细胞密度达到 90%,第 2 天换低浓度血清培养基,使用 1 mL 枪头垂直对准 6 孔板的下端中央部位,向上轻推形成划痕,划十字。用 PBS 清洗掉悬浮的细胞后加入 5DN(75 μmol/L)处理细胞,设置空白对照组,平行设置 3 个复孔。倒置荧光显微镜,0 h 拍照,放入培养箱继续培养 72 h 后再拍照。用软件 ImageJ 计算分析迁移面积。迁移面积 = 72 h 的细胞面积 - 0 h 的细胞面积。

1.2.5 实时荧光定量 PCR。PC3 和 DU145 细胞经不同浓度 5DN 处理后,收获细胞,采用试剂盒提取细胞中的总 RNA,检测 RNA 的浓度和纯度。逆转录合成 cDNA,反转录产物置于 -20 °C 保存备用。将制备好的 cDNA 进行 PCR 扩增,设计引物序列(表 1),反应条件:95 °C 1 min,95 °C 20 s,45 个循环;60 °C 60 s。β-actin 基因作为内参。完成后采用 PCR 仪自带软件 qbase plus 进行分析。

1.2.6 蛋白免疫印迹法。PC3 和 DU145 细胞经不同浓度 5DN 处理后,收获细胞,使用 BCA 试剂盒测定浓度。制备 SDS-PAGE 分离胶,将配好的 PAGE 胶放入电泳槽中,加入

适量电泳缓冲液,通过 SDS-PAGE 凝胶电泳分离等量的蛋白样品(120 V,90 min)。电泳后在 4 °C 下 100 V 转 120 min 进行转膜。室温下,将膜在含 5% 脱脂奶粉 PBS 溶液中封闭 1 h,并在 4 °C 下孵育一抗(caspase 9 1:1 000, β-actin 1:1 000)过夜。在室温下孵育二抗 1 h。各抗体均用 TBST 溶液洗涤 3 次,6 min/次。然后将膜置于双色红外激光成像系统中检测。使用 ImageJ 读取相关条带灰度值。

表 1 引物序列

Table 1 Primer sequences

序号 No.	基因 Genes	引物序列 Primer sequences
1	Bcl-2	上游:5'-ATGTGTGTGGAGAGCGCTAA-3' 下游:5'-ACACCTCACAAACCCATCC-3'
2	BAX	上游:5'-TTGCTTCAGGGTTTCATCCA-3' 下游:5'-CAGCCTTGAGCACCAAGTTG-3'
3	Caspase-3	上游:5'-GGCATTGAGACAGACAGTGG-3' 下游:5'-CATGGAATCTGTTCTTTGC-3'
4	PTEN	上游:5'-GACGGGAAGACAAGTTCAT-3' 下游:5'-GGTTTCCTCTGGCTCTGGT-3'
5	Akt 1	上游:5'-ATGAGCGACCTGCGTATTGT-3' 下游:5'-GAGGCCGTCAGCCACAGTCT-3'
6	Akt 2	上游:5'-AACCTGTGCTTCCATGACCTC-3' 下游:5'-CCCTTCTACAACCAGGACCA-3'
7	β-actin	上游:5'-TGCCCCATCTACGAGGGGTATG-3' 下游:5'-CTCCCTTAATGTCACGCCACGATTTC-3'
8	c-Myc	上游:5'-AGCGACTCTGAGGAGGAACAAG-3' 下游:5'-CCTGCCTCTTTCCACAGAAA-3'

1.3 统计分析 采用 SPSS 19.0 进行差异显著性分析($P < 0.05$),采用 GraphPad Prism 5 绘图。

2 结果与分析

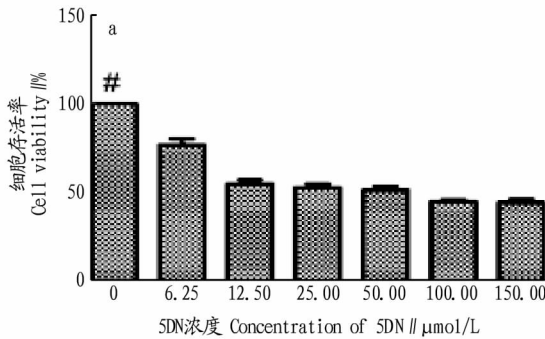
2.1 5DN 对 PC3 和 DU145 的细胞毒性 采用 MTT 法检测 5DN 对人源性前列腺癌 PC3 和 DU145 细胞的体外抗增殖活性。用一定浓度范围的 5DN(0~150 μmol/L)处理 PC3 和 DU145 细胞 48 h 后,PC3 和 DU145 细胞的 IC₅₀ 分别为 49.33、54.14 μmol/L(图 1),PC3 细胞对 5DN 可能更敏感。结果显示,5DN 对 PC3 和 DU145 细胞增殖有明显的抑制作用。PC3 和 DU145 细胞在一定的浓度范围内都存在计量依赖性(图 1),PC3 细胞的计量依赖性较明显。

2.2 5DN 诱导 PC3 和 DU145 产生凋亡小体 为了研究 5DN 对癌细胞的抑制增殖活性是否与细胞的凋亡有关,采用 DAPI 细胞核酸染色液对经过不同浓度 5DN(0.50, 75 μmol/L)处理 48 h 的 PC3 和 DU145 细胞进行染色。结果如图 2 所示,DU145 细胞在 75 μmol/L 5DN 后出现了核收缩,染色质浓缩并形成凋亡小体(红色箭头);PC3 细胞在 50 和 75 μmol/L 都出现了凋亡小体,75 μmol/L 处理组凋亡小体明显增多。说明 5DN 对 PC3 和 DU145 的细胞毒性可能与凋亡相关。

2.3 5DN 诱导 PC3 和 DU145 细胞的凋亡 为了研究 5DN 引起 PC3 和 DU145 细胞凋亡的机制,对与凋亡相关的一些重要基因的 mRNA 的转录水平和蛋白表达量进行了研究。PC3 和 DU145 细胞经 5DN 处理后,75 μmol/L 5DN 处理组的

caspase-3 的 mRNA 的转录水平显著增加, *Bax* 的 mRNA 的转录水平随着 5DN 的浓度增加显著升高, 75 $\mu\text{mol/L}$ 处理组的 mRNA 的转录水平为对照的 2 倍(图 3)。由于 PC3 细胞 *PTEN* 基因缺失, 检测不到 *PTEN* 基因的 mRNA 转录。但是在 DU145 细胞中 *PTEN* 基因的转录水平随着 5DN 的浓度增

加显著升高(图 3)。在 2 个细胞系中抑制细胞凋亡的基因如 *Bcl-2*、*AKT1*、*AKT2* 的 mRNA 的转录水平随着 5DN 的浓度增加都显著降低(图 3)。DU145 经 5DN 处理后 caspase 9 蛋白的表达量随着 5DN 的浓度增加显著升高(图 4)。结果表明 5DN 可能通过线粒体信号转导途径诱导细胞的凋亡。

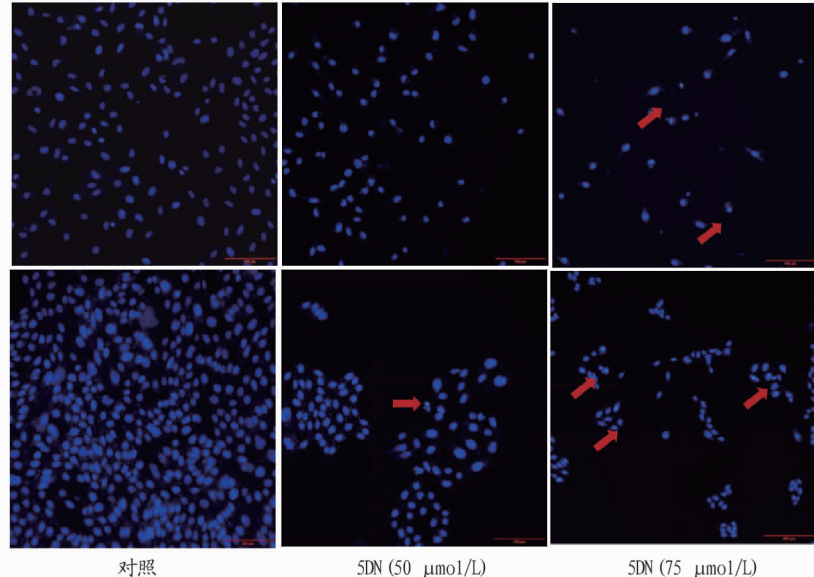


注:“#”表示与其他处理组差异显著($P<0.05$)

Note: “#” indicates significant differences with other treatment groups ($P<0.05$)

图 1 DU145 细胞(a)和 PC3 细胞(b)在不同浓度的 5DN 处理下的细胞存活率

Fig. 1 Cell survival rates of DU145 cells (a) and PC3 cells (b) in different concentrations of 5DN treatments



注:红色箭头表示凋亡小体

Note: Red arrow indicates apoptotic bodies

图 2 PC3 和 DU145 细胞经不同浓度 5DN 处理后 DAPI 细胞核酸染色结果

Fig. 2 DAPI cell nucleic acid staining results of PC3 and DU145 cells treated with different concentrations of 5DN

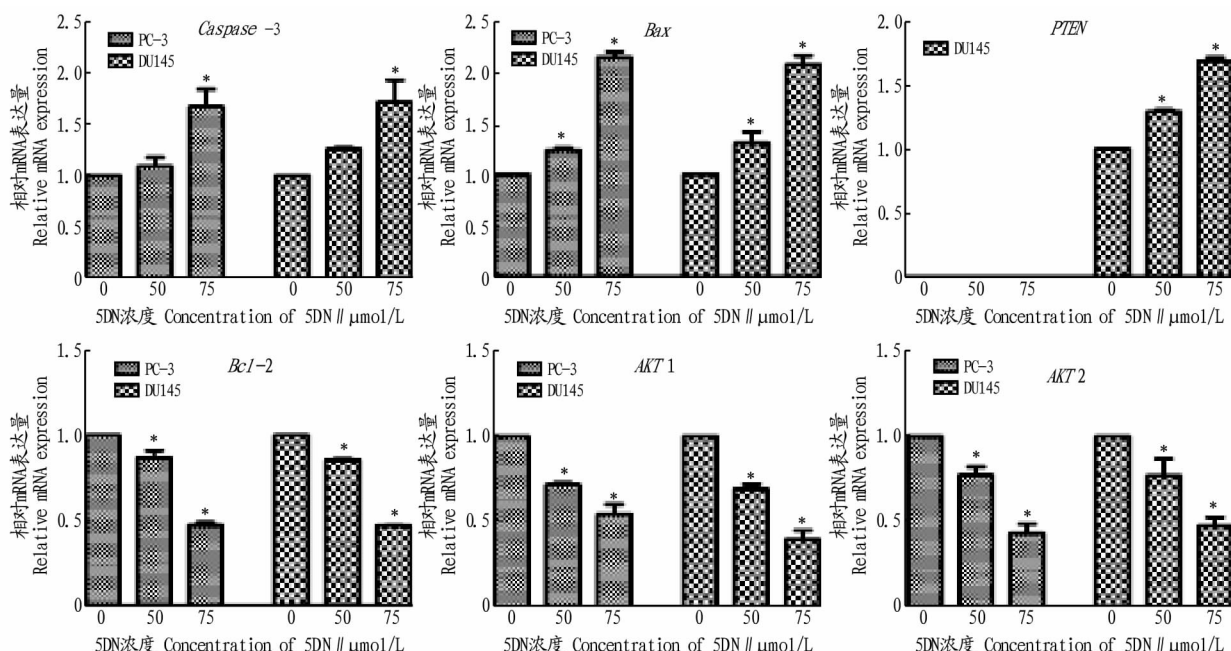
2.4 5DN 抑制 PC3 细胞的迁移 通过细胞划痕试验研究 5DN 对 PC3 细胞迁移的影响。72 h 后 75 $\mu\text{mol/L}$ 5DN 处理组的迁移率为 7.82%, 对照组细胞迁移率为 52.58%。5DN 处理组与对照组细胞相比, 迁移率减少 44.76%。同时对促进细胞迁移基因 *c-Myc* 的 mRNA 的转录水平进行了研究。结果表明, 随着 5DN 浓度的增加, *c-Myc* 的 mRNA 的转录水平显著降低。进一步说明, 5DN 能够抑制 PC3 细胞的迁移(图 5~6)。

3 结论与讨论

由于 PMFs 独特的多甲氧基结构, 很多 PMFs 类物质对前列腺癌细胞都存在一定的抗癌活性^[18]。据文献报道, 橘

皮素通过靶向 PI3K/Akt/mTOR 信号通路诱导 PC3 细胞上皮-间质转化的重编程, 从而抑制前列腺癌细胞的增殖^[19-20]。川陈皮素通过 AKT 通路抑制前列腺癌 PC-3 和 DU-145 细胞的活性^[21]。

该研究通过细胞毒性检测发现 5DN 对人源前列腺癌 PC3 和 DU145 细胞的活性具有显著的抑制作用, 这种抑制作用可能与细胞的凋亡相关。细胞凋亡是基因控制的细胞自主性死亡过程, 许多抗肿瘤药物都通过启动细胞凋亡机制来杀死肿瘤细胞^[22]。其中线粒体信号转导途径诱导细胞凋亡极为重要。线粒体介导的凋亡中包括很多与细胞凋亡相关的基因如 caspase 家族基因和 *Bcl-2* 家族基因^[23]。该研究显

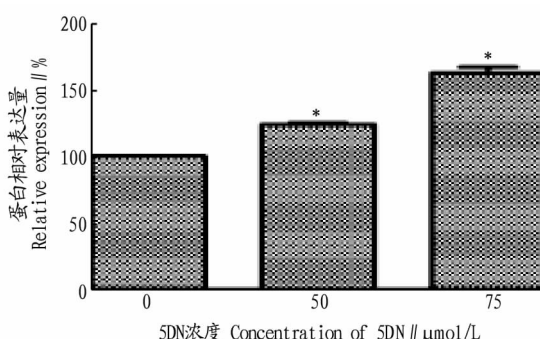


注: * 表示在 0.05 水平差异显著

Note: * indicates significant differences at the 0.05 level

图 3 不同浓度 5DN 处理 PC3 和 DU145 细胞的凋亡相关基因的 mRNA 的转录

Fig. 3 Transcription of mRNA of apoptosis-related genes in PC3 and DU145 cells treated with different concentrations of 5DN



注: * 表示在 0.05 水平差异显著

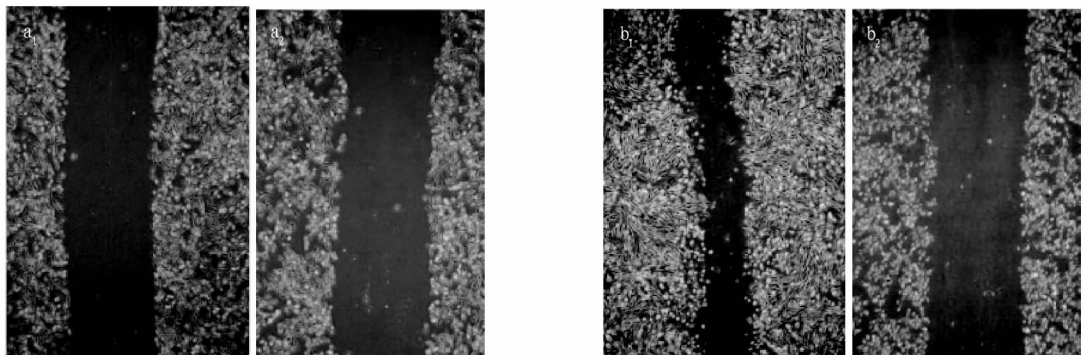
Note: * indicates significant differences at the 0.05 level

图 4 不同浓度 5DN 处理 DU145 细胞的 caspase 9 蛋白的表达量

Fig. 4 Expression of caspase 9 protein in DU145 cells treated with different concentrations of 5DN

示 5DN 能抑制抗凋亡基因 *Bcl-2*、*AKT1*、*AKT2* 的 mRNA 的转录, 促进凋亡基因 *caspase-3*、*PTEN* 和 *Bax* 的转录。 *caspase-9* 作为一种促凋亡因子, 是线粒体介导的细胞凋亡中的关键生物标志物, 也是 *caspase* 家族中引起细胞凋亡的最关键成分之一^[24]。 DU145 细胞经 5DN 处理后能上调 *caspase 9* 蛋白的表达。综上所述, 表明 5DN 可能通过线粒体信号转导途径诱导细胞的凋亡。癌细胞的转移通常是由于癌细胞具有很强的迁移能力。试验发现, 5DN 能有效抑制前列腺癌细胞的迁移。该研究虽然发现 5DN 能诱导前列腺癌细胞的凋亡, 但是其具体的作用信号通路尚不明确, 还有待进一步研究。

该研究首次研究了 5DN 对前列腺癌细胞的抗癌活性, 发现 5DN 通过促进前列腺癌细胞的凋亡和抑制它的增殖和迁移, 抑制 PC3 和 DU145 细胞的活性。上述体



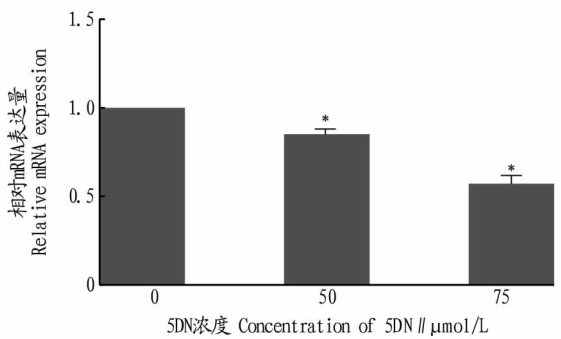
注: a₁、b₁ 为对照组; a₂、b₂ 为 75 μmol/L 5DN 处理组

Note: a₁ and b₁ are the control group; a₂ and b₂ are 75 μmol/L 5DN treated group

图 5 PC3 细胞经 75 μmol/L 5DN 处理后在 0 h (a) 和 72 h (b) 的细胞图像

Fig. 5 Cell images of PC3 cells treated with 75 μmol/L 5DN at 0 h (a) and 72 h (b)

外试验结果为 5DN 的体内抗肿瘤活性研究以及进一步应用于临床治疗奠定了试验基础,也为寻找有效治疗前列腺癌的药物提供了新思路。



注: * 表示在 0.05 水平差异显著

Note: * indicates significant differences at the 0.05 level

图 6 PC3 细胞经 5DN 处理后的基因 *c-Myc* 的 mRNA 的转录

Fig. 6 Transcription of the mRNA of the gene *c-Myc* after treatment with 5DN in PC3 cells

参考文献

- [1] TANEJA S S. Urological oncology: Prostate cancer[J]. Journal of urology, 2014, 191(3):656.
- [2] GILES G G. Prostate cancer[M]//QUAH S R. International encyclopedia of public health. 2nd edition. Oxford: Academic Press, 2017:51–59.
- [3] ZHANG K, BANGMA C H, ROOBOL M J. Prostate cancer screening in Europe and Asia[J]. Asian J Urol, 2017, 4(2):86–95.
- [4] LOU D Y, FONG L. Neoadjuvant therapy for localized prostate cancer: Examining mechanism of action and efficacy within the tumor[J]. Urologic oncology, 2016, 34(4):182–192.
- [5] FARHAT A, JIANG D, CUI D, et al. An integrative model of prostate cancer interaction with the bone microenvironment [J]. Mathematical biosciences, 2017, 294:1–14.
- [6] ZHANG H, XI W P, ZHOU Z Q, et al. Bioactivities and structure of polymethoxylated flavones in citrus[J]. Journal of food agriculture & environment, 2013, 11(2):237–242.
- [7] 张元梅, 周志钦. 柑橘生物活性物质及其心血管疾病防治作用研究进展[J]. 中药材, 2011, 34(11):1799–1804.
- [8] 靖丽, 周志钦. 柑橘果实生物活性物质与糖尿病防治研究进展[J]. 果树学报, 2011, 28(2):313–320.
- [9] ZOU Z, XI W P, HU Y, et al. Antioxidant activity of *Citrus* fruits[J]. Food chemistry, 2016, 196:885–896.
- [10] MANTHEY J A, GUTHRIE N, GROHMANN K. Biological properties of citrus flavonoids pertaining to cancer and inflammation[J]. Current medicinal chemistry, 2001, 8(2):135–153.
- [11] ZHANG J Y, LI N, CHE Y Y, et al. Characterization of seventy polymethoxylated flavonoids (PMFs) in the leaves of *Murraya paniculata* by online high-performance liquid chromatography coupled to photodiode array detection and electrospray tandem mass spectrometry[J]. Journal of pharmaceutical and biomedical analysis, 2011, 56(5):950–961.
- [12] XIAO H, YANG C S, LI S M, et al. Monodemethylated polymethoxyflavones from sweet orange (*Citrus sinensis*) peel inhibit growth of human lung cancer cells by apoptosis[J]. Molecular nutrition & food research, 2009, 53(3):398–406.
- [13] QIU P S, DONG P, GUAN H S, et al. Inhibitory effects of 5-hydroxy polymethoxyflavones on colon cancer cells[J]. Molecular nutrition & food research, 2010, 54(5):244–252.
- [14] SERGEEV I N, HO C, LI S, et al. Apoptosis-inducing activity of hydroxylated polymethoxyflavones and polymethoxyflavones from orange peel in human breast cancer cells[J]. Molecular nutrition & food research, 2007, 51(12):1478–1484.
- [15] CHEN Y K, WANG H C, HO C T, et al. 5-Demethylnobiletin promotes the formation of polymerized tubulin, leads to G2/M phase arrest and induces autophagy via JNK activation in human lung cancer cells[J]. Journal of nutritional biochemistry, 2015, 26(5):484–504.
- [16] SONG M Y, WU X, CHAROENSINPHON N, et al. Dietary 5-demethylnobiletin inhibits cigarette carcinogen NNK-induced lung tumorigenesis in mice[J]. Food & function, 2017, 8(3):954–963.
- [17] LI Z Q, ZHAO Z Y, ZHOU Z Q. Simultaneous separation and purification of five polymethoxylated flavones from "Dahongpao" tangerine (*Citrus tangerina* Tanaka) using macroporous adsorptive resins combined with prep-HPLC[J]. Molecules, 2018, 23:1–17.
- [18] GAO Z, GAO W, ZENG S L, et al. Chemical structures, bioactivities and molecular mechanisms of citrus polymethoxyflavones[J]. Journal of functional foods, 2018, 40:498–509.
- [19] ZHU W B, XIAO N, LIU X J. Dietary flavonoid tangeretin induces reprogramming of epithelial to mesenchymal transition in prostate cancer cells by targeting the PI3K/Akt/mTOR signaling pathway[J]. Oncology letters, 2018, 15(1):433–440.
- [20] CHANG L, GRAHAM P H, NI J, et al. Targeting PI3K/Akt/mTOR signaling pathway in the treatment of prostate cancer radioresistance[J]. Critical reviews in oncology hematology, 2015, 96(3):507–517.
- [21] CHEN J C, CREED A, CHEN A Y, et al. Nobiletin suppresses cell viability through AKT Pathways in PC-3 and DU-145 prostate cancer cells[J]. BMC pharmacology & toxicology, 2014, 15:1–10.
- [22] 张永亮, 陈修煦, 来茂德. 化疗药物诱导的肿瘤细胞凋亡和相关因子的调控[J]. 国外医学(遗传学分册), 2002, 25(3):121–126.
- [23] 王德成, 高洪. 细胞凋亡信号转导途径及调控的研究进展[J]. 动物医学进展, 2003, 24(6):4–7.
- [24] 赵岩, 孙健, 吴影, 等. 结直肠癌中 Survivin、Caspase 9 和 Ki-67 表达的相关性及临床意义[J]. 临床与实验病理学杂志, 2017, 33(4):435–438.
- [13] 梅兴国, 董妍玲, 潘学武. 红豆杉细胞继代培养防褐变措施的研究[J]. 天然产物研究与开发, 2001, 13(4):8–11.
- [14] 罗虹, 陈汝民. 墨兰的组织培养和快速繁殖[J]. 植物生理学通讯, 1997, 33(6):436–437.
- [15] 韩俊, 杨生超, 王自林, 等. SAS 正交设计筛选通关藤组培诱导培养基的研究[J]. 安徽农业科学, 2015, 43(17):98–99, 149.

(上接第 165 页)

- [11] 禹永琼, 王丽莉, 罗瑞芳, 等. 金线莲不同外植体组织培养成苗技术探讨[J]. 江苏农业科学, 2014, 42(8):57–59.
- [12] 张卫芳, 高疆生, 欧勇慧, 等. 抑制核桃组培中的褐化现象初探[J]. 落叶果树, 2003, 35(3):4–7.